

Из сказанного следует, что в уравнении (1) при больших  $S$  форма контура влияет на течение только через  $N_1(x)$ , что и приводит к (4).

Из сформулированного закона подобия следует, что для любых промежуточных или больших значений  $S$  контуры сопл можно получать не решением интегрального уравнения (1), а с помощью пересчета уже найденных контуров.

Поскольку полученные контуры сопл оказались пологими, возникает предположение о возможности их замены соплами с контурами  $r=\text{const}$ . Примеры такой замены показаны на фиг. 2, где для  $S=10$  приведены функции  $N(\theta, \varphi)$  модельных потоков из цилиндрических сопл радиусами  $r=1.392$  (кривая 5) и  $r=1.077$  (кривая 6). Выбранные значения радиусов цилиндрических сопл соответствуют выходному и входному сечениям профилированного сопла, рассчитанного для потока с  $S=10$ . Из графика видно, что  $N(\theta, \varphi)$  в этих случаях заметно отличается от соответствующей функции натурального потока.

Поступила 11 X 1977

#### ЛИТЕРАТУРА

1. Кузнецов Ю. Е., Флаксман Я. Ш. Создание свободномолекулярного потока, предназначенного для специальных аэродинамических исследований. Изв. АН СССР, МЖГ, 1976, № 4.
2. Полак Э. Численные методы оптимизации. М., «Мир», 1974.

УДК 533.6.011.8

## ИЗМЕРЕНИЕ ИНДИКАТРИС РАССЕЯНИЯ ОТ ШЕРОХОВАТОЙ ПОВЕРХНОСТИ В ВЫСОКОСКОРОСТНОМ МОЛЕКУЛЯРНОМ ПОТОКЕ

А. П. НИКИФОРОВ

(Москва)

Одной из характеристик, от которой зависит взаимодействие молекул с твердой поверхностью, является ее шероховатость. При теоретическом рассмотрении влияния шероховатости на функцию рассеяния, на обмен импульсом и энергией между потоком газа и поверхностью был выявлен определяющий взаимодействие параметр  $\sigma_1$ , который характеризует средний тангенс угла наклона сторон неровностей поверхности [1, 2]. Экспериментальные исследования в потоках с тепловыми скоростями молекул, проведенные с контролем шероховатости электронно-микроскопическим методом, подтверждают теоретический вывод о зависимости взаимодействия от параметра  $\sigma_1$  [3]. Однако результаты опытов в высокоскоростных молекулярных потоках указывают на более слабое влияние шероховатости [4, 5]. Сведения о параметре  $\sigma_1$  испытуемых поверхностей отсутствуют.

Целью настоящей работы является экспериментальное исследование влияния неровностей реальной поверхности на индикаторы рассеяния в высокоскоростном свободномолекулярном потоке.

1. Известно, что площадь поверхности является интегральной характеристикой шероховатости и включает в себя дифференциальный параметр  $\sigma_1$  [3]. Поэтому будем оценивать шероховатость поверхности величиной, являющейся отношением реальной площади поверхности к ее геометрической.

Для измерения реальной площади поверхности выбран электрохимический метод [6].

При погружении металлического электрода в электролит на границе раздела двух фаз, соответствующей реальной поверхности, образуется электрический слой в результате перехода заряженных частиц из одной проводящей фазы в другую. Структура двойного электрического слоя соответствует структуре плоского конденсатора, обкладки которого с размером сторон неровностей  $\sim 10^{-3} \text{ мкм}$  находятся на расстоянии радиуса гидратированного иона  $\sim 10^{-4} \text{ мкм}$ . Емкость двойного слоя с молекулярной чувствительностью реагирует на изменение площади поверхности металла, смачиваемой электролитом. Доказано, что в электролитах, не обладающих поверхностно-активными свойствами, емкость двойного слоя, приходящаяся на единицу

нице поверхности, не зависит от рода химически чистого металла. При этом удельная емкость в концентрированных электролитах является функцией только потенциала электрода, зависимость от которого для абсолютно гладкого электрода (ртути) известна [6]. Таким образом, электрохимический метод позволяет определить реальную площадь поверхности с максимально возможным разрешением путем измерения емкости двойного электрического слоя:  $s = c/c_0$ , где  $c_0$  — удельная емкость двойного слоя,  $c$  — емкость двойного слоя на исследуемой поверхности. Для измерения этой емкости применена методика и техника, описанная в [7]. Геометрическая площадь поверхности определяется с помощью обычных приборов для измерения линейных размеров.

Материал	Способ обработки	$s / s_0$	Источник
Олово	Оплавление на воздухе	1.2	Данные автора
Олово	Полирование	1.7	» »
Олово	Точение чистовое	2.4	» »
Ртуть	—	1	[6]
Висмут	Оплавление в $H_2$	1.05	[7]
Никель	Шлифование	9.7	[8]
Никель	Прокатка	3.5	[8]

В таблице приведены результаты измерений реальной площади поверхности  $s$ , отнесенной к их геометрической площади  $s_0$ , для оловянной пластины, поверхность которой приготовлена разными способами. Для сравнения в таблице помещено несколько данных, взятых из других работ [6-8]. Видно, что любая механическая обработка металла увеличивает шероховатость поверхности в несколько раз по сравнению с гладкой.

2. Методика измерения индикаторис рассеяния в высокоскоростном свободномолекулярном потоке заключается в следующем. Из свободномолекулярной струи с помощью диафрагмы вырезается узкий пучок. Модель устанавливается после диафрагмы под углом  $\beta$  к падающему пучку. Рассеянный от поверхности поток молекул регистрируется детектором, который перемещается по радиусу  $r$  с центром в точке рассеяния. Площадь входного отверстия детектора  $A_d$  выбирается из условия  $A_d \ll r$ . Нетрудно видеть, что для данной геометрии эксперимента индикаторис рассеяния как функция распределения потока отраженных молекул по направлениям  $(\theta, \varphi)$  представляется выражением  $f(\theta, \varphi) = j_d r^2 / j_\infty A_\infty$ , где  $j_d$  — поток молекул в направлении  $(\theta, \varphi)$ ,  $j_\infty$  — падающий поток,  $A_\infty$  — площадь отверстия диафрагмы.

Можно показать на примере максвелловского распределения, что методическая погрешность измерений индикаторис рассеяния, связанная с конечными размерами рассеивающей поверхности  $A_\infty / \cos \beta$  и радиуса  $r$ , имеет порядок  $\sqrt{A_\infty / r \cos \beta}$ .

Эксперимент проводился на установке со свободномолекулярным потоком азота [9]. Основные параметры потока: скорость 4 км/сек, поток молекул  $j_\infty = 2 \cdot 10^{17} \text{ см}^{-2} \cdot \text{сек}^{-1}$ . Давление остаточного газа в рабочей камере 5-10<sup>-5</sup> мм рт. ст. Геометрия эксперимента:  $A_d = A_\infty = 0.1 \text{ см}^2$ ,  $r = 8 \text{ см}$ ,  $\beta = 0, \pi$ . Методика и техника измерений потока молекул изложены в [10]. Случайная погрешность измерений  $\pm 15\%$ . Абсолютная погрешность определения углов  $\beta$  и  $\theta$  не превышала  $\pm 2^\circ$ . В качестве моделей использовались пластины из олова чистоты 0.98.

3. Было испытано три модели с различной обработкой поверхности: 1 — оплавление, 2 — полирование, 3 — точение. Результаты измерений шероховатости приведены в таблице. Параметр шероховатости  $s/s_0$  соответственно равен 1.2, 1.7, 2.4.

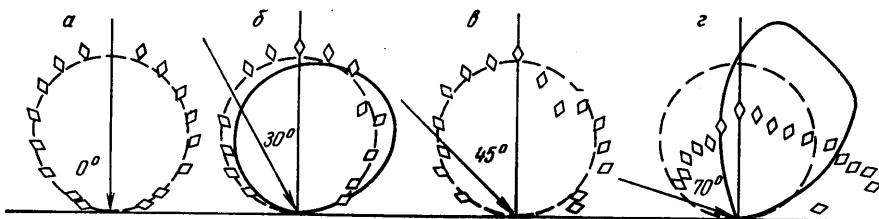
Индикаторисы рассеяния в плоскости падения пучка представлены на фиг. 1-3. Номер фигуры соответствует номеру поверхности. Сплошные линии соответствуют расчету, выполненному для шероховатой поверхности методом статистических испытаний с учетом зависимости коэффициентов обмена энергий и импульсом от угла падения [2]. На фиг. 1 кривые проведены для  $\sigma_1 = 0.5$  ( $s/s_0 = 1.25$ ), на фиг. 2, 3 — для  $\sigma_1 = 1$  ( $s/s_0 = 1.875$ ). Пунктирная линия соответствует отражению по закону косинуса.

Для слабошероховатой поверхности наблюдается сильная зависимость от угла падения  $\beta$  (фиг. 1). При малых углах падения отражение носит диффузный характер (фиг. 1, а, б). С увеличением угла падения появляется зеркальная компонента (фиг. 1, в), которая при больших углах падения становится преобладающей (фиг. 1, г).

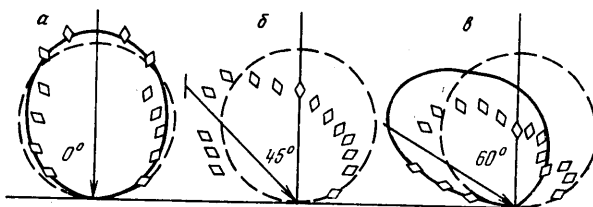
Вид индикаторис рассеяния существенно меняется при переходе к сильношероховатым поверхностям. Подвергнутые механической обработке поверхности (полирование, точение) преимущественно рассеивают падающий поток в обратном направлении,

лении при всех углах падения (фиг. 2, 3). При этом более грубая обработка приводит к увеличению доли частиц, рассеянных в направлении нормали (см. фиг. 2, б и 3, б), и уменьшению числа отраженных частиц по зеркальному лучу (см. фиг. 2, в и 3, в). Проявляется анизотропное расположение неровностей поверхности при обработке точением.

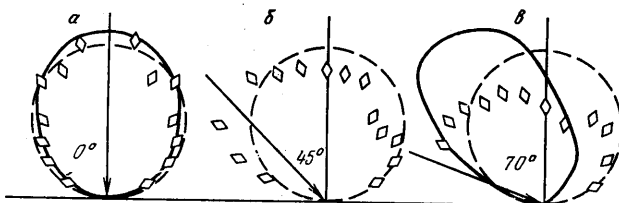
Опытные индикаторы качественно совпадают с расчетными индикаторами распределения, полученными от поверхностей, неровности которых моделируются случайными наклонами элементарных площадок с нормальным законом распределения, со средним, равным нулю, и дисперсией  $\sigma_1^2$ .



Фиг. 1



Фиг. 2



Фиг. 3

Таким образом, экспериментально подтверждена определяющая роль параметра  $\sigma_1$  при взаимодействии высокоскоростного молекулярного потока с шероховатой поверхностью.

В заключение автор выражает благодарность М. Н. Когану за ценные замечания и А. И. Омелику за обсуждение работы.

Поступила 14 XI 1977

#### ЛИТЕРАТУРА

1. Баранцев Р. Г. Взаимодействие разреженных газов с обтекаемыми поверхностями. М., «Наука», 1975.
2. Ерофеев А. И. О влиянии шероховатости на взаимодействие потока газа с поверхностью твердого тела. Изв. АН СССР, МЖГ, 1968, № 6.
3. Витенберга Ю. Р., Терехов А. Д., Фролова Е. Н. Микро幾何етрия и теплоотдающие свойства поверхностей в разреженных газах. В кн. «Микро幾何етрия в инженерных задачах». Рига, «Зиннатне», 1973.
4. Alcalay J. A., Knuth E. L. Experimental study of scattering in particle-surface collisions with particle energies of the order of 1tv. Rarefied Gas. Dynam., vol. 1, New York — London, Acad. Press., 1967.

5. Омелик А. И. Измерение коэффициентов передачи импульса к поверхностям различной структуры в гиперзвуковом свободномолекулярном потоке. Изв. АН СССР, МЖГ, 1977, № 4.
6. Фрумкин А. Н., Багодский В. С., Иоффе А. З., Кабанов Б. Н. Кинетика электродных процессов. МГУ, 1952.
7. Адсорбция и двойной электрический слой в электрохимии. М., «Наука», 1972.
8. Дэшман С. Научные основы вакуумной техники. М., «Мир», 1964.
9. Баринов И. С., Жестков Б. Е., Омелик А. И., Орлова З. Т. Аэродинамическая установка со свободномолекулярным потоком и высокой температурой торможения. Теплофизика высоких температур, 1973, т. 11, № 3.
10. Никифоров А. П., Омелик А. И. Дифференциальный измеритель удельного расхода для свободномолекулярных потоков. Тр. ЦАГИ, 1977, вып. 1853.

УДК 534.2

## КОЛЕБАНИЯ ГАЗА В ТРУБАХ ПОД ВОЗДЕЙСТВИЕМ ПЕРИОДИЧЕСКИ МЕНЯЮЩЕГОСЯ ДАВЛЕНИЯ

Г. Е. ДУМНОВ

*(Москва)*

В работе рассматриваются колебания газа в трубе под действием периодически меняющегося давления на частоте ее линейного резонанса и разогрев газа возникающими ударными волнами. Задача решается численным методом, имеющим третий порядок точности по координате и по времени. Предложен разностный алгоритм для вычисления параметров на границе. Получены аппроксимационные соотношения, позволяющие определить поведение параметров системы в зависимости от времени.

Колебания газа в полых резонансных трубах имеют сложный характер. Среди многочисленных моделей этого явления можно выделить задачу о колебании газа в резонансной трубе под воздействием периодически меняющегося давления.

Считая газ совершенным и идеальным, пренебрегая двумерностью течения у устья, пограничным слоем внутри резонатора, а также не учитывая влияние вытекающего газа на внешнее течение, можно решать задачу в одномерном приближении, используя одномерные нестационарные уравнения Эйлера

$$\frac{\partial f}{\partial t} + \frac{\partial F}{\partial x} = 0$$

$$f = \begin{vmatrix} \rho \\ pu \\ l \end{vmatrix}, \quad F = \begin{vmatrix} \rho u \\ \rho u^2 + p \\ (l + p)u \end{vmatrix}, \quad l = \frac{p}{\gamma - 1} + \frac{1}{2} \rho u^2$$

Здесь  $\rho$  — плотность,  $p$  — давление,  $l$  — полная энергия на единицу объема,  $u$  — скорость,  $\gamma$  — постоянная адиабаты газа,  $x$  — координата, отсчитываемая от закрытого конца резонатора,  $t$  — время.

Уравнения дополняются следующими граничными условиями:

1) на закрытом конце резонатора ( $x=0$ ) скорость газа равна нулю ( $u=0$ ) — условие непротекания;

2) на устье резонатора ( $x=L$ ,  $L$  — длина трубы) задается периодически меняющееся давление ( $p=p_0(1+V_0 \sin(\omega t))$ ,  $p_0$  — некоторое среднее давление,  $V_0$  — безразмерная амплитуда колебаний,  $\omega$  — частота).

Представляя решение в виде ряда по степеням амплитуды колебания давления и линеаризуя уравнения Эйлера, в первом приближении получим решение в виде